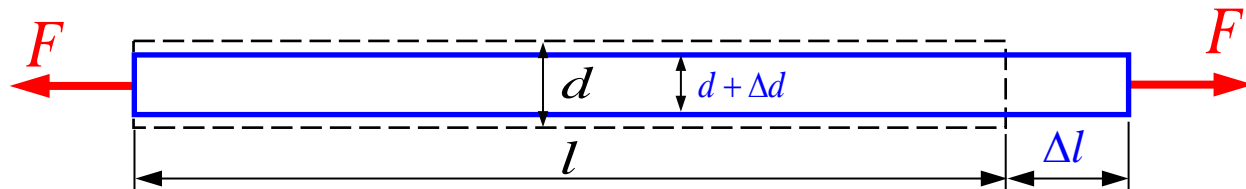


第二章 轴向拉伸与压缩 剪切与挤压（四）

第 5 讲

§ 2.8 轴向拉（压）杆的变形

1. 拉（压）杆的横向变形计算



纵向线应变	横向线应变	泊松比 (Poisson's Ratio)
$\varepsilon = \frac{\Delta l}{l}$	$\varepsilon' = \frac{\Delta d}{d}$	$\mu = -\frac{\varepsilon'}{\varepsilon}$

★ ε 和 ε' 都是量纲为一的量。

工程实际中， ε 是一个很小的量 $10^{-6} \sim 10^{-3}$

泊松比的学术之争（1833-1879）*

1821年：纳维首次用分子理论来研究各向同性材料弹性体的平衡问题，所导出的方程中只有一个弹性常数 C ，因此被称为“单常数理论”。

1825年：柯西把纳维的理论推广到各向异性弹性体，其基本方程中有36个常数，简化到各向同性弹性体时仍有两个常数。但柯西认为纳维的单常数理论是正确的。

1829年：泊松在《弹性体平衡和运动研究报告》一文中指出，各向同性弹性杆件受到单向拉伸时，产生纵向应变 ε_x ，同时会连带产生横向收缩，此横向应变为 $-\mu\varepsilon_x$ 。他用分子理论证明 $\mu=1/4$ ，也做了实验验证。

* 老亮主编，材料力学史漫话-从胡克定律的优先权讲起，高等教育出版社，1993

1833年：格林（G. Green）在研究电磁波在弹性介质表面的上的反射与折射时，首次用能量法证明：各向同性材料的应变能函数中应当包括两个弹性常数，而不是单常数，从而引起了历史上的“**泊松比之争**”。纳维、柯西、泊松、拉梅（都是法国科学院院士）都支持**单常数理论**（也有大量的实验验证 $\mu = 1/4$ ，如碳钢 $\mu \in [0.24, 0.28]$ ，花岗岩、大理石 $\mu \in [0.2, 0.3]$ ）。



Navier
1785-1836



Cauchy
1789-1857



Poisson
1781-1840



Lame
1795-1870

1848年：维尔泰姆（G. Wertheim, 1815~1861, 奥地利出生的法籍实验固体力学家）向法国科学院提交了“关于匀质固体平衡的研究报告”。他用不同的办法测定弹性常数，发现大部分试验点落在 $1/3$ 附近，建议把 $1/4$ 改为 $1/3$ ，但还是认为单常数理论是正确的。

维尔泰姆是银行家的后裔，他把继承的所有巨额财富和毕生的经历都投入到科学实验中，因他的测试结果与主流派的理论结果不符，使他在学术上长期受到非难，心情抑郁，1861年在法国图尔旅游时，从教堂塔顶跳下，自杀身亡。

1859年：基尔霍夫（G.R. Kirchhoff）设计了一种巧妙的弯扭实验装置，测出三种钢杆的 μ 值分别为0.293, 0.294, 0.295；两种黄铜的 μ 值分别0.385, 0.387，又一次验证了 $\mu \neq 1/4$ 。

但他仍然相信主流派的单常数理论，怀疑所有试样有各向异性，对自己正确的测试结果持保留态度。

1869年：科尔纽（M.A. Cornu）首次用光学干涉法独立地测定泊松比的值，对7种玻璃片测试值的平均为0.237，并不是 $1/4$ ，但还是认为单常数理论是正确的。

1879年：马洛克（A. Mallock）设计了一个装置，测出一些材料的泊松比值：钢0.253，黄铜0.325，铜0.348，铅0.375，锌板0.18，铸锌0.230，胶木0.389，象牙0.5，印度橡胶0.5，石蜡0.5，硬纸板0.2，巴黎石膏0.181。

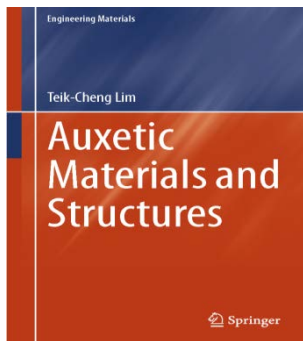
马洛克从自己的实验数据出发，正确地指出 $\mu = 1/4$ 的常数理论不适用于弹性固体，泊松比是独立的材料常数，建议把单常数理论送进历史博物馆，从而终止了长达46年的“泊松比之争”。

“泊松比之争”并没有就此告终，关于泊松比的又一个学术争论至今尚未了结——“泊松比的取值范围”。

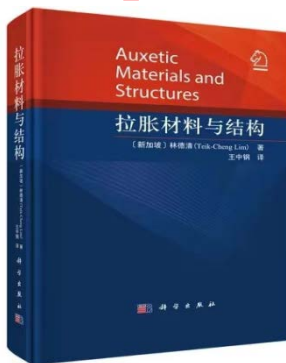
泊松比的取值范围

经典的弹性固体力学已经严格证明：等温条件下各向同性线弹性材料泊松比的取值范围为 $-1 \leq \mu \leq 0.5$

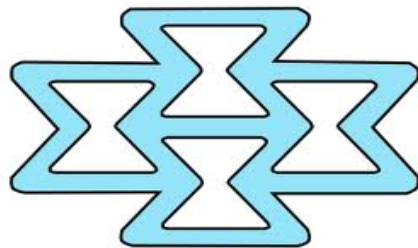
负泊松比（negative poisson's ratio）材料？



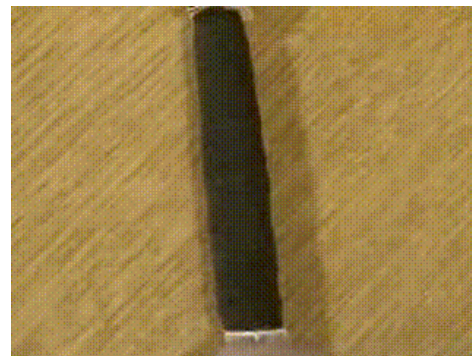
2015



2021



内凹结构



本视频来源于网络

也称 拉胀材料 或 超材料

天然硅酸盐 α -方英石在特定方向上受力后会出现负泊松比效应。

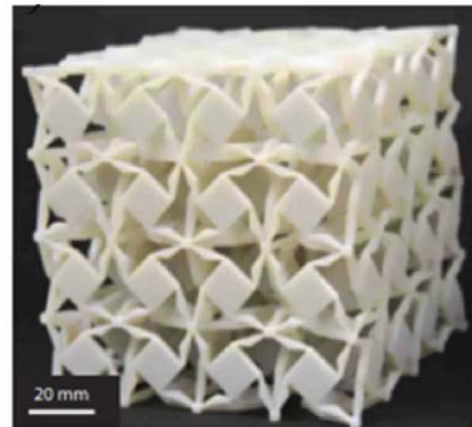
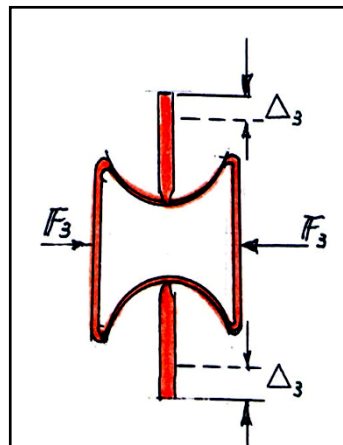
负泊松比效应的应用



刀头易拆装件



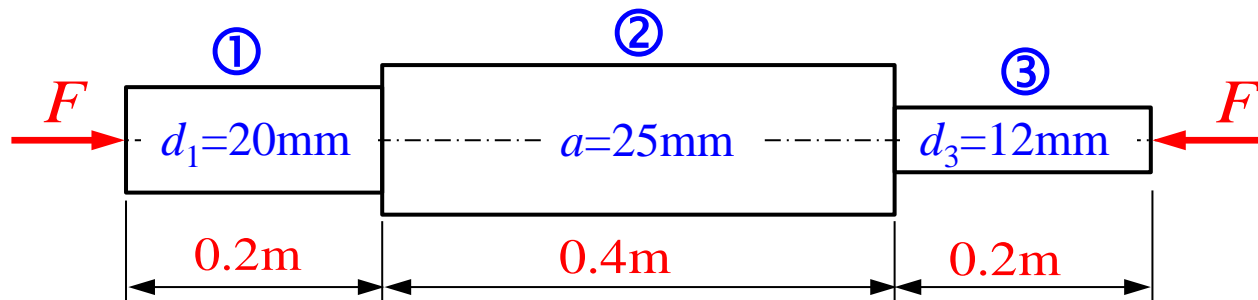
庄表中教授
(1934-)



三维负泊松比材料（结构）

负泊松比材料具有优异的特性，在汽车轻量化设计、消音器、防弹衣、缓冲和保护装备等领域有重要应用前景

例1 图示阶梯杆，已知①段为直径 $d_1=20\text{mm}$ 的圆杆，②段为边长 $a=25\text{mm}$ 的方杆，③段为直径 $d_3=12\text{mm}$ 的圆杆。若②段杆内的应力 $\sigma_2=-30\text{MPa}$ ， $E=210\text{GPa}$ ，泊松比 $\mu=0.25$ 。求：③段杆外径的变化量。

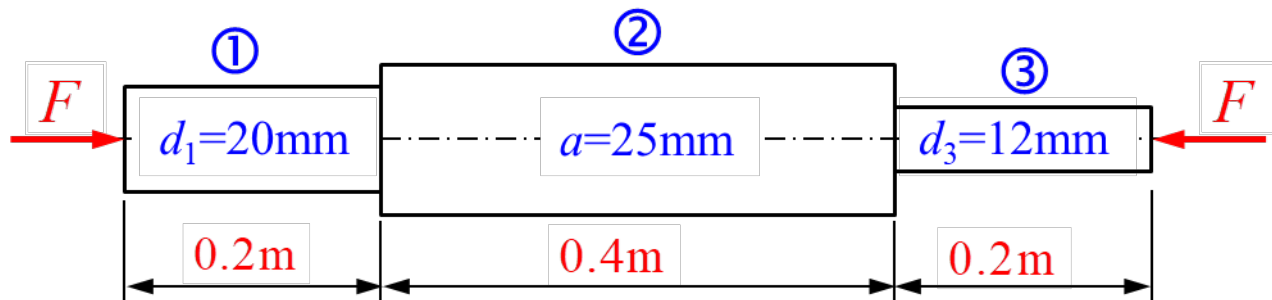


解：1) 求轴向力 F

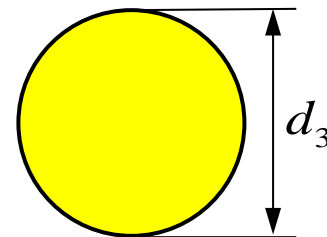
$$F = \sigma_2 A_2 = -30 \times 25^2 \text{ N} = -18.75 \text{ kN}$$

$$\sigma_{\text{杆}3} = \frac{F_{N3}}{\frac{\pi \times d_3^2}{4}} = \frac{-18.75 \times 10^3}{\frac{\pi \times 0.012^2}{4}} = -165.79 \text{ MPa}$$

2) 求③段杆外径的变化量



$$\begin{aligned} d_3 &= 12\text{mm} \\ E &= 210\text{GPa} \\ \mu &= 0.25 \end{aligned}$$



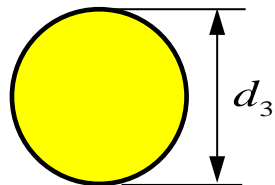
$$F = -18.75\text{kN}, \quad \sigma_{\text{杆}3} = -165.79\text{MPa}$$

$$\varepsilon_{\text{杆}3} = \frac{\sigma_{\text{杆}3}}{E} = \frac{-165.79 \times 10^6}{210 \times 10^9} = -7.895 \times 10^{-4} = -789.5 \times 10^{-6}$$

$$\varepsilon'_{\text{杆}3} = -\mu \varepsilon_{\text{杆}3} = -0.25 \times (-789.5 \times 10^{-6}) = 197.365 \times 10^{-6}$$

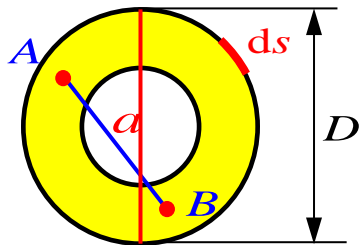
$$\Delta d = \varepsilon'_{\text{杆}3} d_3 = 197.365 \times 10^{-6} \times 12 \times 10^{-3} = 2.37 \times 10^{-6} \text{m} = 2.37 \times 10^{-3} \text{mm} \quad (\text{增大})$$

思考和讨论:



$$\Delta d = \varepsilon'_{\text{杆3}} d_3$$

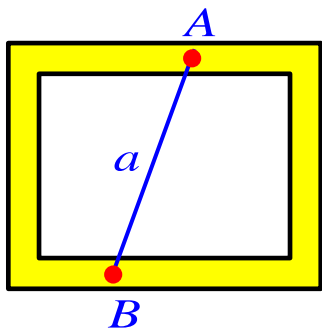
空心杆



AB两点间距离的变化量

空心截面上任意两点
间距离的变化量

$$\Delta_{AB} = \varepsilon' \times AB = -\mu \varepsilon a$$



外直径的变化量?

考虑外圆周长的变化

弧长 ds 的变化量 $ds' = \varepsilon' \times ds$

外圆周长 c 变化量 变形后外圆的周长

$$\begin{aligned} \Delta c &= \int_c ds' = \int_c \varepsilon' ds & c + \Delta c &= c + \varepsilon' \times c \\ &= \varepsilon' \int_c ds = \varepsilon' \times c & &= (1 + \varepsilon')c \\ & & &= (1 + \varepsilon')\pi D \end{aligned}$$

变形后外圆的直径

$$(1 + \varepsilon')\pi D = \pi D'$$

$$D' = (1 + \varepsilon')D$$

外直径的变化量

$$\Delta D = D' - D = (1 + \varepsilon')D - D = \varepsilon' D = -\mu \varepsilon D$$

$$\varepsilon = \frac{\sigma}{E}$$

2. 拉（压）杆纵向伸长的计算（非均匀变形情形）

吊起的桩在自重下的变形



变轴力情形

$$F_N = F_N(x)$$

变截面杆



$$A = A(x)$$



高温

陶瓷

在极端条件下
工作的构件

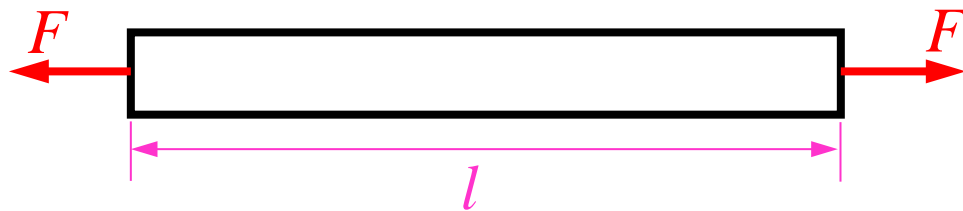
$$E = E(x)$$

功能梯度材料

functionally graded material

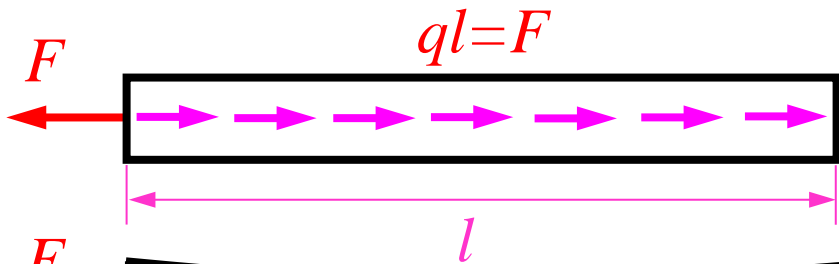
钢

常温

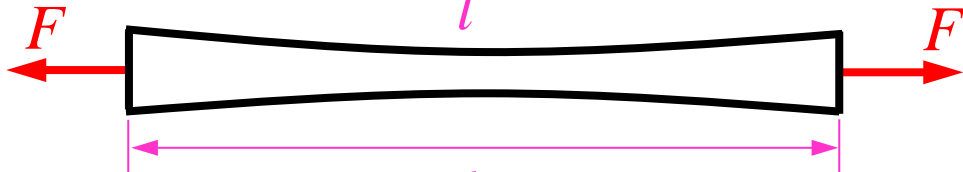


$$\Delta l = \frac{Fl}{EA}$$

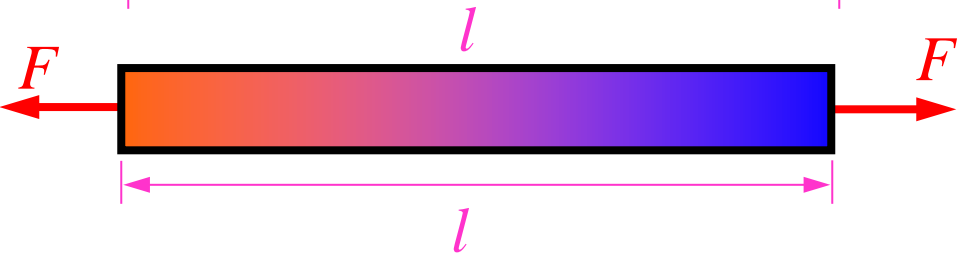
非均匀变形情形杆伸长量的计算



$$F_N = F_N(x)$$



$$A = A(x)$$



$$E = E(x)$$

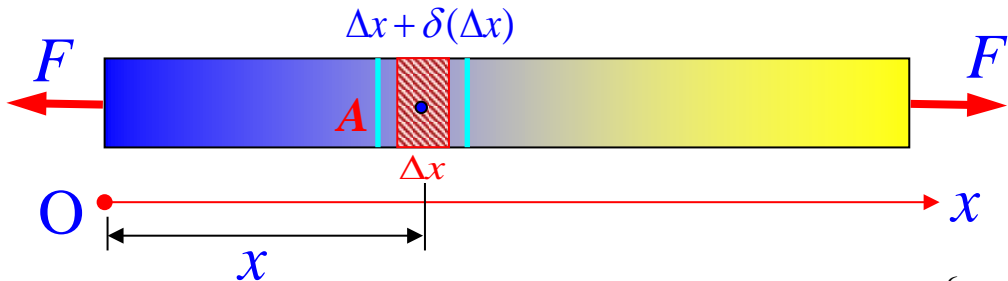
$$\Delta l = ?$$



关于纵向线应变的定义:

对于各段伸长不均匀的杆

A点沿x方向的线应变



$$\varepsilon(x) = \lim_{\Delta x \rightarrow 0} \frac{\delta(\Delta x)}{\Delta x}$$

$$\delta(\Delta x) = \varepsilon(x) \cdot \Delta x$$



任何单轴情形都适用

$$\Delta l = \int \varepsilon(x) dx$$

$$\Delta x \rightarrow 0: \begin{cases} \Delta x \rightarrow dx \\ \Sigma \rightarrow \int \end{cases}$$

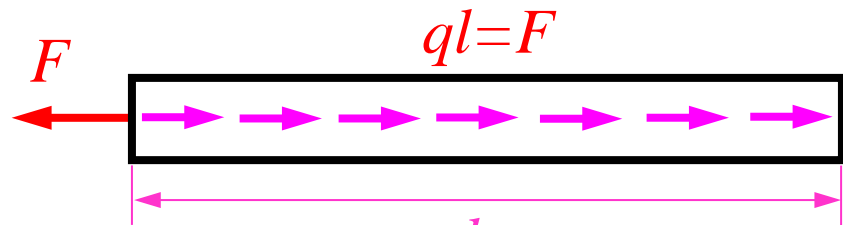
$$\Delta l = \Sigma \delta(\Delta x) = \Sigma \varepsilon(x) \cdot \Delta x$$

$$\varepsilon(x) = \frac{\sigma(x)}{E(x)} = \frac{1}{E(x)} \frac{F_N(x)}{A(x)}$$

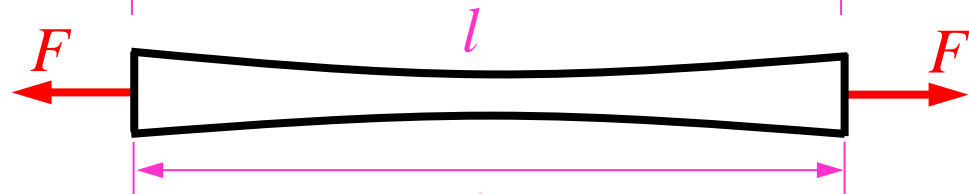
$$\Delta l = \int \frac{F_N(x) \cdot dx}{E(x) \cdot A(x)}$$

$$\text{改写 } \Delta l = \int \frac{F_N(x)}{E(x) \cdot A(x)} dx$$

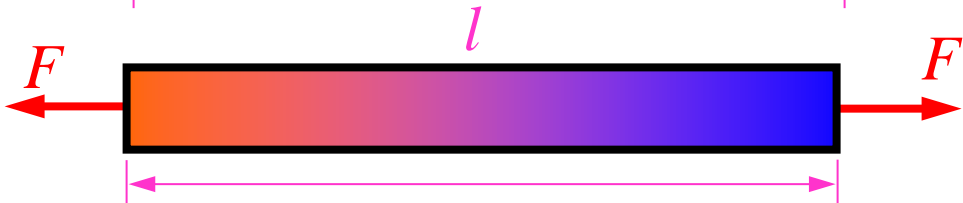
对于各段伸长不均匀的杆: $\Delta l = \int \varepsilon(x)dx = \int \frac{F_N(x)}{E(x).A(x)}dx$



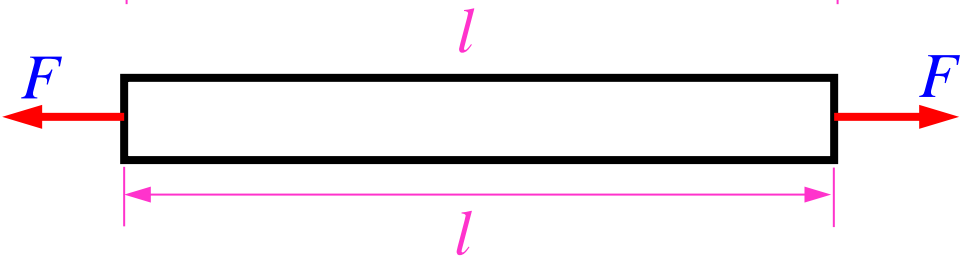
$$\Delta l = \int_0^l \frac{F_N(x)}{EA} dx$$



$$\Delta l = \int_0^l \frac{F}{EA(x)} dx$$



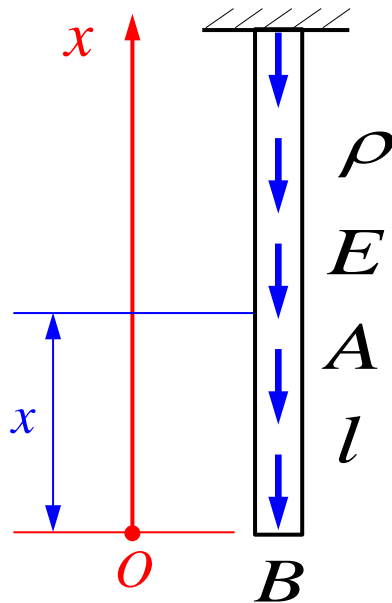
$$\Delta l = \int_0^l \frac{F}{E(x)A} dx$$



$$\Delta l = \frac{Fl}{EA}$$

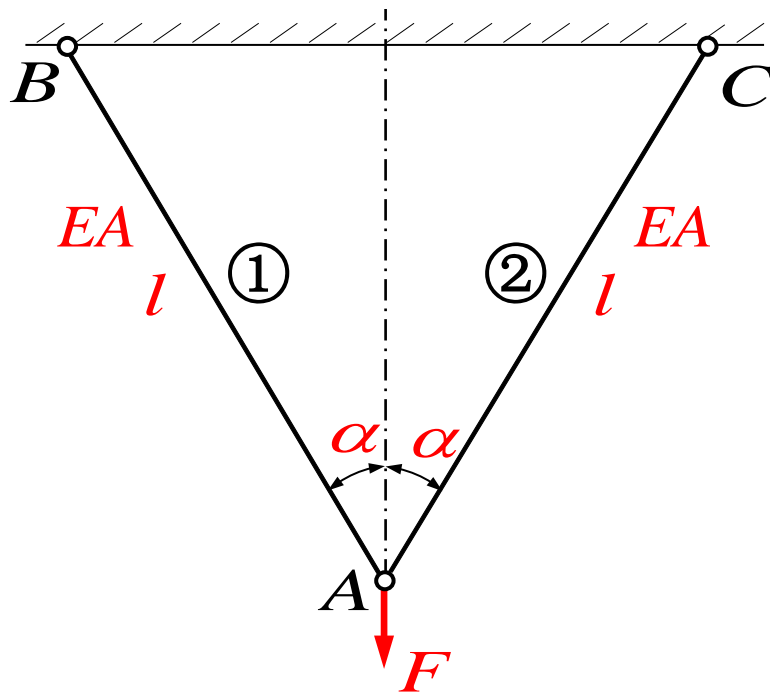
例2 已知：悬挂的杆 ρ, E, A 及 l 。
试求：下端点 B 的位移。

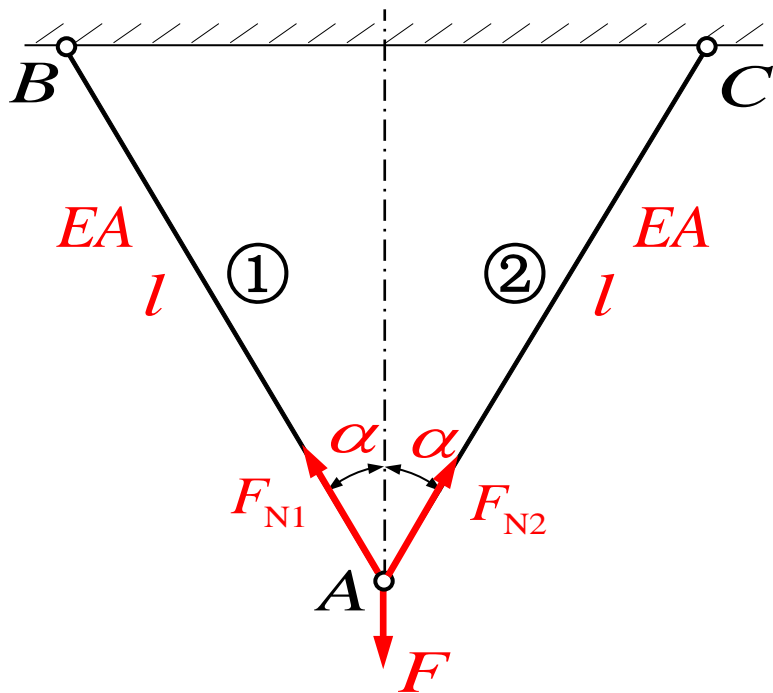
$$\begin{aligned}\Delta l &= \int_0^l \frac{F_N(x)}{EA} dx \\ &= \int_0^l \frac{\rho \cdot Ax \cdot g}{EA} dx \\ &= \frac{\rho g}{E} \int_0^l x dx \\ &= \frac{\rho g l^2}{2E} (\downarrow)\end{aligned}$$



3. 拉（压）杆结构的节点位移计算

例3 求图示结构结点A的垂直位移。



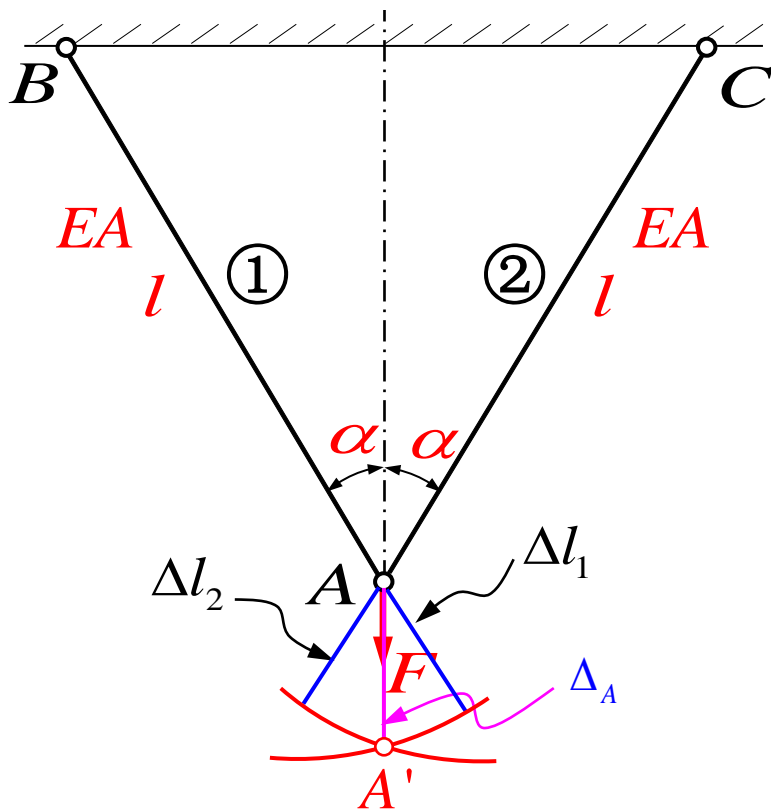


解：先求各杆的内力
受力分析如图（对A节点）

$$F_{N1} \sin \alpha - F_{N2} \sin \alpha = 0$$

$$F_{N1} \cos \alpha + F_{N2} \cos \alpha - F = 0$$

解得 $F_{N1} = F_{N2} = F_N = \frac{F}{2 \cos \alpha}$



两杆的伸长分别为：

$$\Delta l_1 = \Delta l_2 = \frac{F_N l}{EA}$$

$$= \frac{Fl}{2EA \cos \alpha}$$

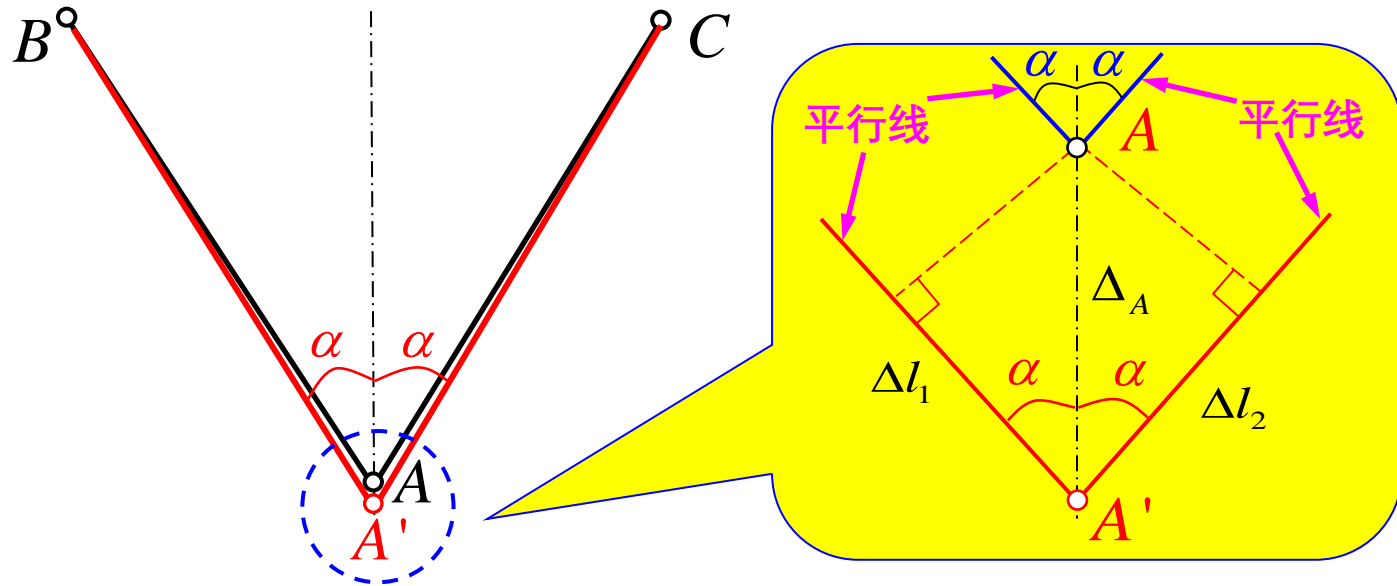
A点的最终位置可这样看：

将铰拆开后并两杆分别先拉长 Δl ，
然后再组装于一起。

$$\Delta_A = ?$$

关于微小变形问题的处理

关于微小变形问题的处理



$$\Delta l_1 = \frac{Fl}{2EA \cos \alpha}$$

变形前后 α 角度视为不变

$$\Delta_A \cos \alpha = \Delta l_1$$

$$\Delta_A = \frac{\Delta l_1}{\cos \alpha}$$

$$\Delta_A = \frac{Fl}{2EA \cos^2 \alpha}$$

例3 求图示结构结点B的垂直位移和水平位移。

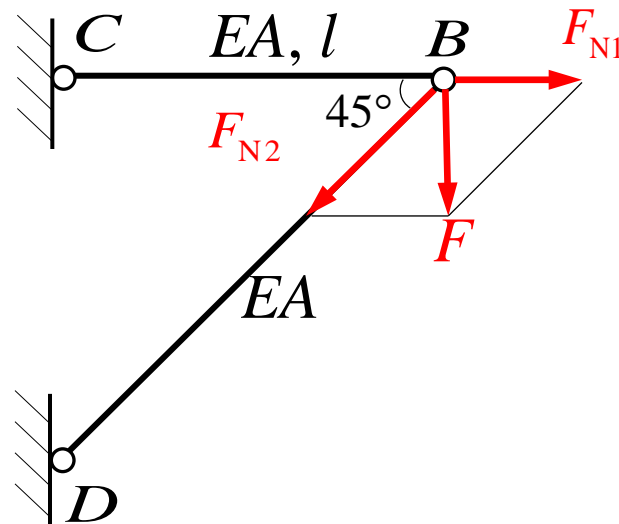
解: 受力分析如图

将力直接分解

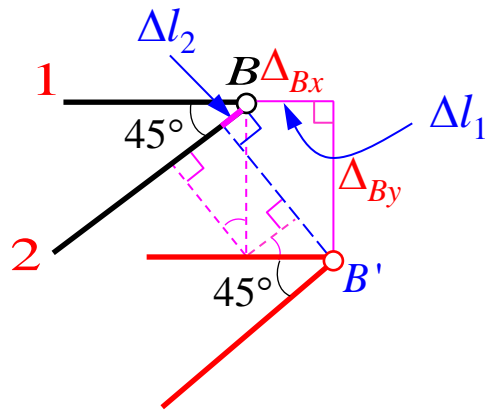
$$F_{N1} = F \text{ (拉)} \quad F_{N2} = \sqrt{2}F \text{ (压)}$$

$$\Delta l_1 = \frac{Fl}{EA} (+)$$

$$\Delta l_2 = \frac{\sqrt{2}F \sqrt{2}l}{EA} = \frac{2Fl}{EA} (-)$$



变形几何关系



$$\Delta l_1 = \frac{Fl}{EA} (+)$$

$$\Delta l_2 = \frac{2Fl}{EA} (-)$$

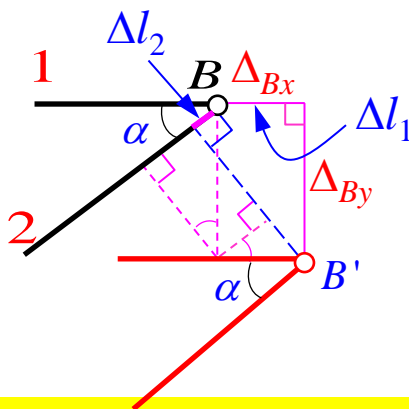
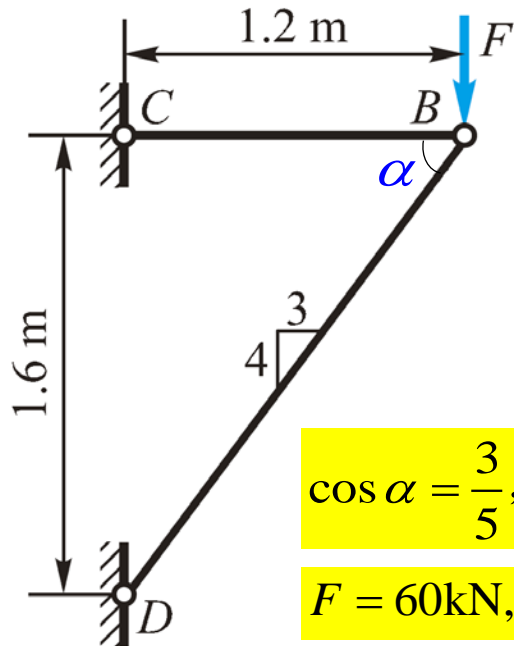
$$\Delta l_1 = \Delta_{Bx} = \frac{Fl}{EA} (\rightarrow)$$

$$\Delta l_2 = \Delta_{By} \sin 45^\circ - \Delta_{Bx} \cos 45^\circ$$

$$\begin{aligned} \Delta_{By} &= (\Delta l_2 + \Delta_{Bx} \cos 45^\circ) / \sin 45^\circ \\ &= \sqrt{2} \Delta l_2 + \Delta l_1 \end{aligned}$$

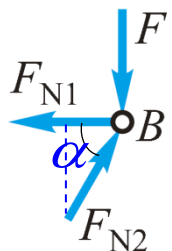
$$\Delta_{By} = \frac{2\sqrt{2} + 1}{EA} Fl$$

$BC:CD:BD = 3:4:5$ 【教材例2.7】



$$\cos \alpha = \frac{3}{5}, \quad \sin \alpha = \frac{4}{5}, \quad \tan \alpha = \frac{4}{3}$$

$$F = 60\text{kN}, E = 200\text{GPa}, l_{BC} = 1.2\text{m}, d = 20\text{mm}$$



$$F_{N1} = \frac{F}{\tan \alpha} \text{ (拉)} \quad \Delta l_1 = \frac{F_{N1} l}{EA} (+) = 0.859\text{mm}$$

$$F_{N2} = \frac{F}{\sin \alpha} \text{ (压)} \quad \Delta l_2 = \frac{F_{N2} l}{EA} (-) = 0.732\text{mm}$$

变形几何关系

$$\Delta l_1 = \Delta_{Bx} = \frac{F_{N1} l}{EA} (\rightarrow)$$

$$\Delta l_2 = \Delta_{By} \sin \alpha - \Delta_{Bx} \cos \alpha$$

$$\begin{aligned} \Delta_{By} &= (\Delta l_2 + \Delta_{Bx} \cos \alpha) / \sin \alpha \\ &= (\Delta l_2 + \Delta l_1 \cos \alpha) / \sin \alpha \end{aligned}$$

$$\Delta_{Bx} = \Delta l_1 = 0.859\text{mm}$$

$$\begin{aligned} \Delta_{By} &= \frac{5}{4} \Delta l_2 + \frac{3}{4} \Delta l_1 \\ &= 1.559\text{mm} \end{aligned}$$

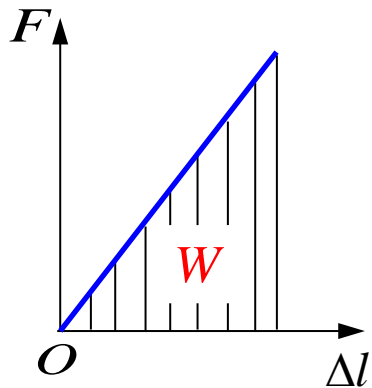
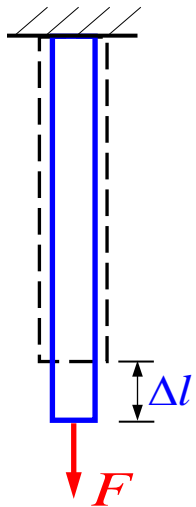
§ 2.9 轴向拉（压）杆的应变能

Strain energy in axially loaded bar

弹性体受外力作用变形。外力对弹性体做的功储存在弹性体内，称为变形能或应变能（strain energy）。

当外力逐渐减小时，弹性体变形逐渐恢复，所储存的变形能被释放而做功。

外力对弹性体做的功



$$W = ?$$

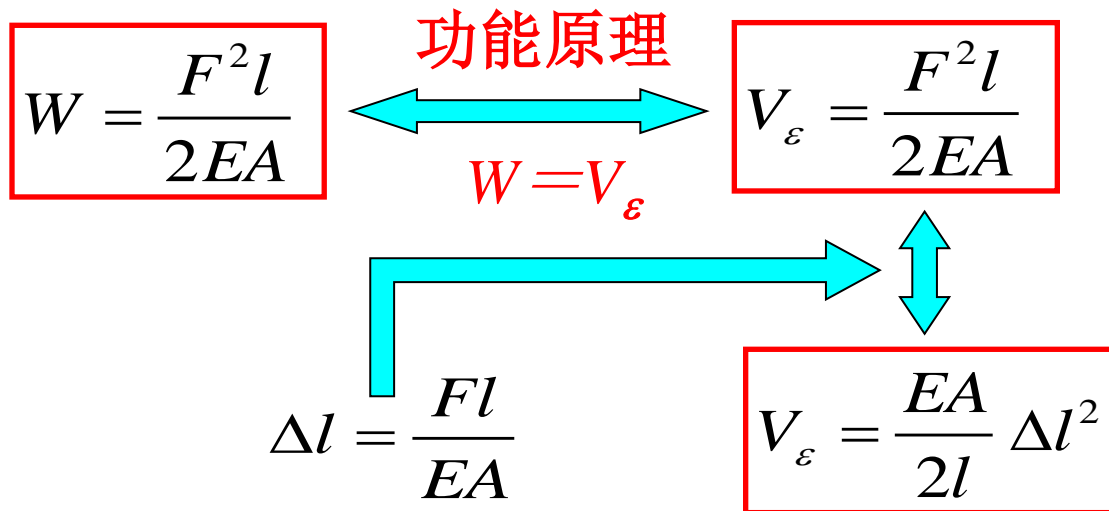


$$W = \frac{1}{2} F \Delta l$$

$$\Delta l = \frac{Fl}{EA}$$

$$W = \frac{F^2 l}{2EA}$$

拉（压）杆的应变能



应变能的单位：焦耳，J（1J=1N·m）

应变能密度：单位体积内的应变能

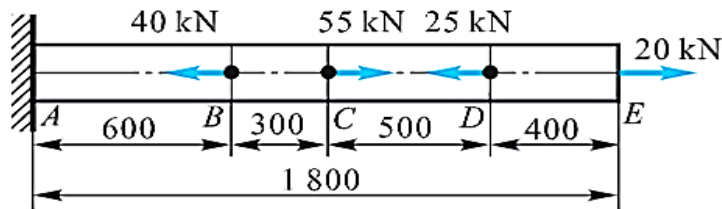
$$v_{\varepsilon} = \frac{V_{\varepsilon}}{V} = \frac{\frac{1}{2} F \Delta l}{Al} = \frac{1}{2} \sigma \varepsilon$$

$$\sigma = E \varepsilon$$

$$v_{\varepsilon} = \frac{1}{2E} \sigma^2$$

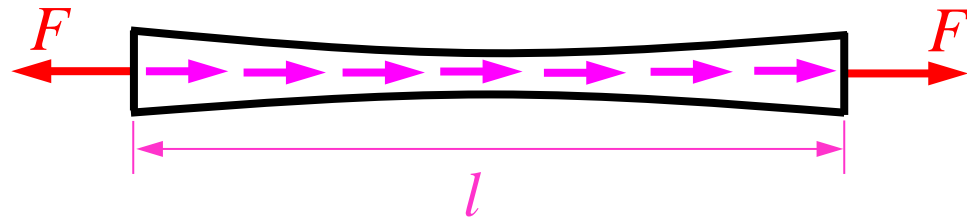
$$v_{\varepsilon} = \frac{1}{2} E \varepsilon^2$$

应变能计算的一般情况



分段直杆（轴力不变）

$$V_{\varepsilon} = \sum_i \frac{F_{Ni}^2 l_i}{2E_i A_i}$$



$$F_N = F_N(x)$$

$$A = A(x)$$

$$E = E(x)$$

变截面且变轴力直杆

$$V_{\varepsilon} = \int_0^l \frac{F_N(x)^2}{2E(x)A(x)} dx$$

变截面且变外力直杆情形的推导 $F_N = F_N(x)$, $A = A(x)$, $E = E(x)$

由应变能密度定义（单位体积变形能）：

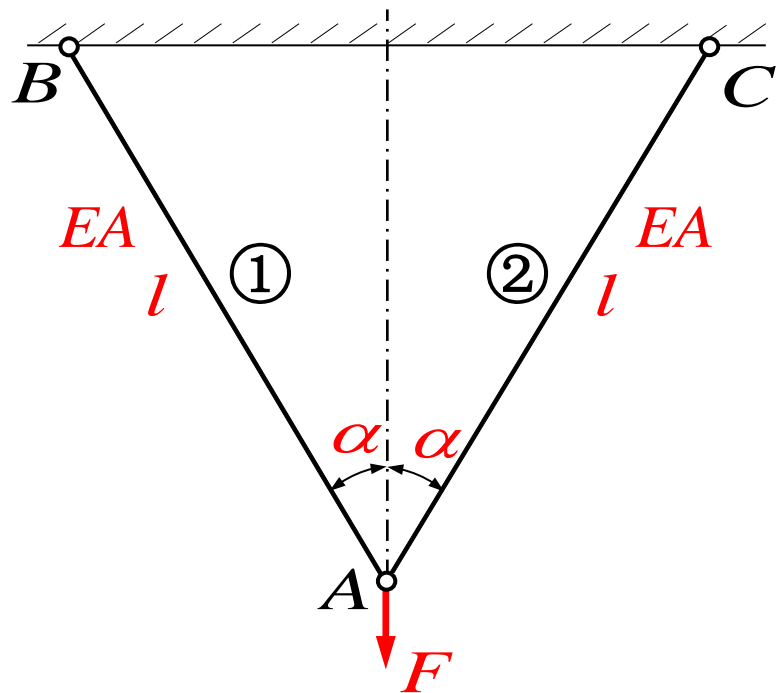
$$v_\varepsilon = \frac{dV_\varepsilon}{dV} \longrightarrow dV_\varepsilon = v_\varepsilon dV \longrightarrow V_\varepsilon = \int_V v_\varepsilon dV$$

$$V_\varepsilon = \int_V \frac{[F_N(x)/A(x)]^2}{2E(x)} dV \longleftarrow V_\varepsilon = \int_V \frac{\sigma(x)^2}{2E(x)} dV \longleftarrow V_\varepsilon = \int_V \frac{1}{2} \sigma(x) \varepsilon(x) dV$$

$$V_\varepsilon = \int_l \left[\int_A \frac{[F_N(x)]^2}{2E(x)A(x)^2} dA \right] dx \longrightarrow V_\varepsilon = \int_l \frac{F_N^2(x)}{2E(x)A(x)} dx$$

应变能在计算位移中的应用

例4 求图示结构结点A 的垂直位移。



解: $F_{N1} = F_{N2} = \frac{F}{2 \cos \alpha}$

系统应变能

$$V_{\varepsilon} = \sum_{i=1}^2 \frac{F_{Ni}^2 l_i}{2 E_i A_i} = \frac{l}{2 EA} \left(\frac{F}{2 \cos \alpha} \right)^2 \times 2$$

$$\Delta_{Ay} = \frac{Fl}{2 EA \cos^2 \alpha}$$

$$W = \frac{1}{2} F \Delta_{Ay}$$

谢谢各位！

作业

P67: 2.32

P68: 2.34(c)、2.37

下次课讲 拉压超静定问题 温度应力和装配应力